

## طراحی الگوریتم مخفی سازی پیام اصلاح شده در نهان نگاری تصویر

### مبتنی بر فشرده سازی روش AMBTC

محمدعلی شمع علیزاده بایی

استادیار دانشکده علوم مهندسی دفاعی، دانشگاه افسری و تربیت پاسداری امام حسین (ع)

(دریافت: ۱۳۹۹/۰۷/۱۲، پذیرش: ۱۴۰۰/۰۲/۲۵)

#### چکیده

امروزه نهان نگاری تصویر، از راه های مهم حفاظت از امنیت اطلاعات در شبکه های الکترونیکی و به خصوص اینترنت است. برای کاهش بار ترافیکی در شبکه ها سعی می شود از فنون فشرده سازی تصویر در کنار نهان نگاری استفاده شود. یکی از شیوه های نهان نگاری در حوزه تصاویر فشرده، نهان نگاری مبتنی بر AMBTC بهبود یافته است. این الگوریتم مبتنی بر روش های پیشرفته ریاضی طراحی شده است، اما برای مخفی سازی بیت های پیام در هر سطح بیتی، از کدهای فشرده هر تصویر، از جایگزینی مستقیم استفاده می کند، که احتمال تخریب هر بیت در این روش  $\frac{1}{4}$  است. در این مقاله، به جای جایگزینی مستقیم در سطوح بیتی کدهای فشرده، از عملگر XOR برای مخفی سازی بیت های پیام پیشنهاد شده است، که این احتمال را به  $\frac{1}{16}$  کاهش می دهد. نتیجه این اصلاح، بهبود کیفیت بصری تصاویر نهانه، بدون تأثیر بر هیستوگرام آن ها است. ارزیابی طرح پیشنهادی با آزمایش معیارهایی چون PSNR، MSE و SSIM، بهبود طرح اصلاح شده را برای ۱۰۰۰ تصویر طبیعی نشان می دهد.

**کلیدواژه ها:** فشرده سازی مبتنی بر AMBTC، نهان نگاری مبتنی بر AMBTC بهبود یافته، کمترین تخریب، مخفی سازی با عملگر XOR.

## Designing a Modified Version of the Message Hiding Algorithm in Image Steganography, Based on the AMBTC Compression Method

M. A. Shamalizadeh Baei

Imam Hossein University

(Received: 03/10/2020; Accepted: 15/05/2021)

#### Abstract

Today, image steganography is one of the most important ways to protect information security in electronic networks, especially the Internet. To reduce the traffic load in the networks, we try to use image compression techniques along with steganography. One of the methods of steganography in the field of compressed images is the AMBTC-based image steganography. This algorithm is based on advanced mathematical methods, but uses a direct replacement to hide the message bits at each bit level of the compressed code of each image. The probability of destroying each bit in this method is %50. In this paper, instead of directly replacing the compressed code bit levels, the xor operator is suggested to hide message bits, which reduces this probability to %25. The result of this correction is the improvement of the visual quality of the hidden images, without affecting their histograms. Evaluation of the proposed design by the testing criteria such as PSNR, MSE and SSIM on 1000 natural images, shows the superiority of the modified design.

**Keywords:** AMBTC-Based Compression, AMBTC-Based Steganography, Minimal Degradation, Message Hiding, Xor Operator.

## ۱- مقدمه

علم و هنر مخفی سازی پیام در یک رسانه مانند تصویر را نهان نگاری و برعکس علم و هنر تحقیق و بررسی وجود پیام در تصویر را نهان کاوی گویند. هر تصویر اصلی قبل از مخفی سازی پیام را پوشانه و تصویری که پس از مخفی سازی پیام در پوشانه به دست می آید را نهانه گویند [۱].

نهان نگاری تصاویر به دو حوزه مکان و حوزه تصاویر فشرده تقسیم می شود. نهان نگاری در حوزه مکان با دست کاری مستقیم پیکسل های تصویر صورت می گیرد. در حوزه تصاویر فشرده از تبدیلاتی چون، تبدیل فوریه کسینوسی گسسته، تبدیل موجک گسسته، تبدیل آفینی و تبدیل تجزیه یکتا روی تصویر استفاده شده و سپس، مخفی سازی بیت های پیام به روش های گوناگون صورت می گیرد [۱ و ۲].

<sup>۱</sup> BTC و بعد از آن <sup>۲</sup> AMBTC روش های دیگر فشرده سازی تصویر هستند، که مزیت های فراوانی همانند کارایی، هزینه محاسباتی پایین و سادگی در پیاده سازی را دارند که علاقه مندان زیادی را به خود جذب کرده اند. به همین دلیل نهان نگاری در این حوزه از تصاویر فشرده نیز طرفداران زیادی دارد.

BTC یک روش فشرده سازی با اتلاف ساده و کارآمد تصویر است [۳]. این روش، به دلیل هزینه محاسباتی پایین و زمان پردازشی بسیار مناسب است. ایده اصلی روش BTC به خاطر فرمول اندازه گیری پیکسل ها در هر بلوک است به طوری که برخی از گشتاورهای آماری بلوک های کوچک تصاویر سطوح سیاه و سفید حفظ شده و کیفیت بصری تصویر فشرده قابل قبول باقی می ماند.

بعد از BTC، روش AMBTC، که نوعی از BTC است، توسط لما و میچل برای بهبود عملکرد آن ارائه شد [۴]. روش AMBTC از نظر محاسباتی ساده تر از روش BTC است در حالی که اولین گشتاور مطلق همراه با گشتاور متوسط را پشتیبانی می کند. تفاوت عمده بین AMBTC و BTC محاسبه دو سطح کوانتیزاسیون (پردازش تصویر) در طول مراحل کدگذاری است. با این حال، فرایند کدگذاری تصویر در روش AMBTC همانند روش های سنتی BTC است.

در این مقاله اصلاح یک طرح نهان نگاری تصویر بهبود یافته بر اساس روش فشرده سازی AMBTC ارائه می شود. هدف از طرح پیشنهادی، بهبود طرح مخفی سازی پیام از طریق اصلاح روش مخفی سازی و بهبود کیفیت بصری در تصویر نهانه، با حفظ امنیت آماری (هیستوگرام) است. طرحی که قصد اصلاحش را داریم، تصویر را به بلوک های صاف و ناصاف (پیچیده)  $4 \times 4$  تقسیم

کرده، پس از فشرده سازی هر بلوک، بیت های پیام را در همه بیت های سطوح بی تی فشرده شده متناظر بلوک های صاف، بدن هیچ شرطی جایگزین می کند. لذا همان طوری که انتظار می رود این روش جایگزینی بی قید و شرط، بیشترین تخریب سطوح بی تی را به همراه دارد. بنابراین، در طرح پیشنهادی داده ها را طوری در بلوک های پوشانه مخفی سازی می کنیم که تخریب ناشی از این کار تا حد امکان کمینه گردد. برای این کار، با مخفی سازی بیت های پیام با استفاده از عملگر XOR، حداقل تخریب سطوح بی تی صورت می گیرد.

در ادامه این مقاله، در بخش دوم روش تحقیق، در بخش سوم پیش زمینه تشریح می شود. همچنین در بخش چهارم، طرح پیشنهادی مقاله، در بخش پنجم معیارهای سنجش و ارزیابی، بخش ششم پیاده سازی تجربی و در بخش هفتم نتیجه گیری خواهد شد.

## ۲- پیشینه تحقیق

هوانگ و همکاران [۵] یک طرح نهان نگاری تصویر مبتنی بر BTC با ظرفیت بالایی ارائه دادند. این طرح قابل برگشت است، یعنی تصویر پوشانه اصلی می تواند به صورت کامل از تصویر نهانه بازیابی شود. در این طرح آن ها یک حد آستانه برای دسته بندی نوع هر بلوک به عنوان سطح صاف <sup>۳</sup> یا ناصاف (پیچیده <sup>۴</sup>) در تصویر تعریف کرده و داده های محرمانه را در بیت های سطوح بی تی بلوک های صاف به صورت مشابه مخفی سازی نمودند. در طرح هوانگ وقتی حد آستانه بالا باشد بیت های بیشتری قابل مخفی سازی است، اما کیفیت بصری تصویر نهانه به صورت قابل توجهی کاهش می یابد. در نتیجه می تواند سوءظن مهاجمان را افزایش داده و منجر به شکست طرح نهان نگاری شود.

برای توسعه طرح هوانگ، چانگ و همکاران [۶] یک نهان نگاری تصویر قابل برگشت با تأکید بر روی تصاویر رنگی فشرده BTC پیشنهاد دادند، که قابلیت برگشت پذیری این طرح و طرح های مشابه دیگر ظرفیت آن ها را پایین نگه داشته است. جدیدترین طرح بهبود یافته دیگر در زمینه تصاویر فشرده رنگی توسط لیائو و همکارانش ارائه شده است [۷].

هر چند طرح های قابل برگشت برای برخی کاربردها در حوزه های نظامی و پزشکی بسیار مهم هستند اما آن ها معمولاً از ظرفیت پایین که منجر به محدودیت کاربرد آن ها می شود، رنج می برند.

<sup>3</sup> Smooth<sup>4</sup> Complex<sup>1</sup> Block Trunction Coding<sup>2</sup> Absolut Moment Block Trunction Coding

ایجاد هیچ گونه تخریبی در کیفیت بصری تصویر افزایش دهد. در فرآیند فشرده سازی AMBTC، ابتدا هر تصویر ورودی به مجموعه‌ای از بلوک‌های نامیوشان  $B_i$  از پیکسل‌ها مثلاً  $4 \times 4$  تقسیم می‌شود. سپس هر بلوک  $B_i$  با استفاده از دو سطح کوانتیزاسیون  $a_i$  و  $b_i$  و سطح تک‌بیتی  $IB_i$  فشرده سازی می‌شود. برای هر بلوک  $B_i$ ، مقدار میانگین  $\bar{x}$  و سطوح کوانتیزاسیون  $a_i$  و  $b_i$  به شرح زیر محاسبه می‌شود:

$$\bar{x} = \frac{1}{M} \sum_{i=1}^M x_i \quad (1)$$

$$a_i = \frac{1}{M - q} \sum_{x_i < \bar{x}} x_i \quad (2)$$

$$b_i = \frac{1}{q} \sum_{x_i \geq \bar{x}} x_i \quad (3)$$

که در آن  $x_i$  نشان دهنده شدت روشنایی پیکسل  $i$ ام هر بلوک  $B_i$ ،  $M$  نشان دهنده تعداد کل پیکسل‌های آن بلوک و  $q$  نشان دهنده تعداد پیکسل‌هایی است که سطح سیاه‌وسفید آن بزرگ‌تر یا مساوی با مقدار متوسط  $\bar{x}$  است می‌باشد. برای بلوک هر  $B_i$ ، هنگامی که مقدار پیکسل بزرگ‌تر یا مساوی  $\bar{x}$  است، مقدار ۱ و در غیر این صورت ۰ در سطح بیتی  $IB_i$  به صورت یک بلوک متناظر در نظر گرفته می‌شود.

در طول فرآیند خارج سازی از حالت فشرده نیز دو سطح کوانتیزاسیون  $a_i$  و  $b_i$  و یک سطح بیتی  $IB_i$  برای بازسازی بلوک تصویر مورد نیاز است. شکل (۱). نمونه‌ای از فرایند محاسبه سطح تک‌بیتی برای یک بلوک از تصویر را نشان می‌دهد.

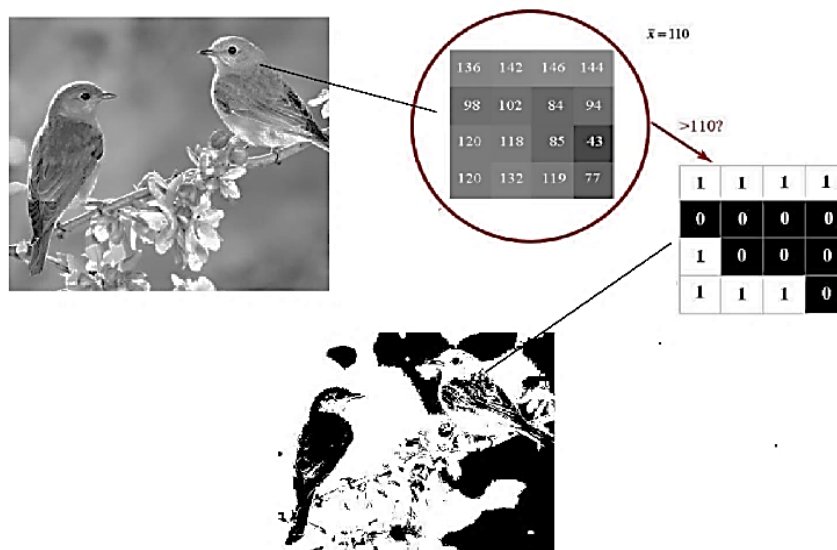
برای هر تصویر فشرده مبتنی بر AMBTC، هر بلوک  $B_i$ ، مثلاً با ابعاد  $4 \times 4$ ، دارای ۱۶ پیکسل  $x_i$  است، که متناظر آن سطح بیتی  $IB_i$  ۱۶ بیت به همراه دو مقدار کوانتیزه‌ی  $a_i$  و  $b_i$  هر کدام با ۸ بیت است. در مجموع حافظه مصرفی  $IB_i$  در هر بلوک فشرده برابر ۳۲ بیت است. بنابراین، برای ۱۶ پیکسل از یک بلوک  $B_i$  با ابعاد  $4 \times 4$ ، نرخ فشرده سازی روش AMBTC، ۲ bpp است، که برابر روش سنتی BTC است.

برای غلبه بر مسائل موجود در طرح هوانگ و همکاران، چن و همکاران [۸] نیز یک طرح بهبود یافته‌ای را پیشنهاد دادند که داده‌ها را در سطوح بیتی با دو سطح کوانتیزه یکسان مخفی سازی می‌کند. در این طرح ظرفیت مخفی سازی در مقایسه با طرح هوانگ و همکاران کمی بهبود دارد.

برخلاف طرح‌های نهان نگاری برگشت پذیر دیگر، ویسان و همکاران [۹] یک طرح برگشت پذیر مبتنی بر AMBTC پیشنهاد دادند که از پیچیدگی محاسباتی پایینی برخوردار است و در آن داده‌ها به طور مستقیم درون کدهای فشرده، مخفی سازی می‌شوند، اما ظرفیت مخفی سازی آن پایین است. همچنین چین چن چانگ و همکاران [۱۰] روش برگشت پذیر دیگری در همان حوزه پیشنهاد کردند، که از کدگذاری محلی مشترک برای مخفی سازی اطلاعات استفاده می‌کند. این روش از عملگر XOR برای محاسبه اختلاف بین مقدار فعلی و مقدار انتخاب شده استفاده می‌کند. نتایج تجربی نشان می‌دهد که این روش از ظرفیت مخفی سازی رضایت بخشی، که متناسب با تصویر نهانه نیز می‌باشد، برخوردار است.

چی چنگ و همکارانش [۱۱] یک طرح نهان نگاری پرظرفیت در حوزه‌ی تصاویر فشرده‌ی مبتنی بر AMBT ارائه کردند. در این طرح، ترکیب رشته داده‌ی محرمانه به صورت آماری تجزیه تحلیل شده و یک فرهنگ لغت جستجوی رمزگذار و رمزگشای منحصربه‌فرد برای تنظیم مقادیر پیکسل‌ها پیشنهاد شد، که در مراحل مخفی سازی و استخراج مورداستفاده قرار می‌گیرد. این فرهنگ لغت باعث ارتقای ظرفیت نهان نگاری می‌شود، چراکه داده‌های محرمانه با استفاده از این روش کدگذاری مبتنی بر فرهنگ لغت، فشرده سازی می‌شوند.

دانهو و ویسان [۱۲] نیز طرح قابل برگشت قبلی خود را بهبود دادند. در این طرح بهبود یافته هنگامی که داده‌ها در یک بلوک صاف مخفی سازی می‌شوند، دو سطح کوانتیزاسیون بلوک صاف برای به حداقل رساندن تخریب بین بلوک تصاویر نهانه و پوشانه مجدداً محاسبه می‌شود. در نتیجه کیفیت بصری می‌تواند بهبود یابد. از سوی دیگر، بلوک‌های ناصاف یا پیچیده نیز برای مخفی سازی داده‌ها مورداستفاده قرار می‌گیرند، که در بعضی از طرح‌های دیگر انجام نشده است. برای این کار یک بیت پیام را در هر یک از بلوک‌های ناصاف با جابجایی دو سطح کوانتیزاسیون و سطح بیتی مربوطه مخفی سازی می‌کنند (تعویض مقادیر  $a_i$  و  $b_i$  و  $IB_i$  با  $\sim IB_i$ ). چنین راهبرد مخفی سازی می‌تواند ظرفیت را بدون



شکل ۱. نمایش فرایند فشرده‌سازی یک تصویر به روش AMBTC و عکس آن روی یک تصویر.

$IB'_i$  برابر با ۰ باشد، پیکسل متناظر با آن در  $B_i$  به‌عنوان گروه اول ( $G_0$ ) و بقیه در گروه دوم ( $G_1$ ) طبقه‌بندی می‌شوند. در این روش،  $D_i$  را برای اندازه‌گیری میزان تخریب بین هر بلوک تصویر اصلی و بلوک بازسازی شده نهانه ( $a_i$ ) بجای صفرها و  $b_i$  بجای یک‌ها) که شامل بیت‌های پیام مخفی است در نظر می‌گیریم. برای این کار فرض می‌کنیم که نتیجه محاسبه مجدد سطوح کوانتیزاسیون یک بلوک صاف  $B_i$ ، پس از مخفی‌سازی بیت‌های پیام، به ترتیب  $a'_i$  و  $b'_i$  باشد در این صورت می‌توان نوشت:

$$D_i = \frac{1}{N} \left( \sum_{x_i \in G_0} (x_i - a'_i)^2 + \sum_{x_i \in G_1} (x_i - b'_i)^2 \right) \quad (4)$$

که در آن نشان دهنده مقدار پیکسل  $i$  ام بلوک تصویر اصلی صاف  $B_i$  و  $N$  نشان‌دهنده تعداد کل پیکسل‌ها در آن بلوک است. برای به دست آوردن بهترین کیفیت بصری از هر بلوک بازسازی شده نهانه، کوانتیزاسیون جدید  $a'_i$  و  $b'_i$  باید برای به حداقل رساندن تخریب  $D_i$  تعیین شوند. مشتقات جزئی اول و دوم  $D_i$  با توجه به متغیرهای  $a'_i$  و  $b'_i$  به‌صورت زیر محاسبه می‌شوند.

$$\frac{\partial D_i}{\partial a'_i} = -\frac{2}{N} \sum_{x_i \in G_0} (x_i - a'_i) \quad (5)$$

$$\frac{\partial D_i}{\partial b'_i} = -\frac{2}{N} \sum_{x_i \in G_1} (x_i - b'_i). \quad (6)$$

$$\frac{\partial^2 D_i}{\partial a_i'^2} = \frac{2}{N} \sum_{x_i \in G_0} 1. \quad (7)$$

$$\frac{\partial^2 D_i}{\partial b_i'^2} = \frac{2}{N} \sum_{x_i \in G_1} 1. \quad (8)$$

از آنجایی که  $\frac{\partial^2 D_i}{\partial a_i'^2} > 0$  و  $\frac{\partial^2 D_i}{\partial b_i'^2} > 0$ ، حداقل  $D_i$  زمانی رخ می‌دهد که در آن مشتقات جزئی مرتبه اول آن با توجه به متغیر

البته همان‌طوری که در طرح هوانگ و همکاران بیان شد، در روش AMBTC اولین گشتاور مطلق همراه با میانگین را به‌جای استفاده از انحراف استاندارد در روش BTC حفظ می‌کند، به‌طوری‌که روش AMBTC محاسبات تعیین ناصاف بودن هر بلوک را در مقایسه با روش BTC نیاز ندارد [۵].

### ۳- روش تحقیق

#### ۳-۱- روش AMBTC بهبودیافته

طرح مخفی‌سازی پیام مبتنی بر AMBTC بهبودیافته، شامل یک الگوریتم نهان‌نگاری تصویر با کاهش تخریب بر اساس AMBTC است [۸]. در این طرح هر بلوک صاف، ۱۶ بیت پیام و هر بلوک ناصاف، فقط یک بیت پیام را در خود مخفی می‌کند. البته مخفی‌سازی در هر بلوک ناصاف بدون هیچ‌گونه تغییر و فقط بر طبق یک قاعده قراردادی صورت می‌گیرد. بلوک‌های صاف با کدهای فشرده AMBTC، که برای مخفی‌سازی عمده بیت‌های پیام استفاده می‌شوند، ۱۶ بیت را در بیت‌های هر سطح بیتی به‌صورت نظیر به نظیر جایگزین می‌کند. این راهبرد به دلیل جایگزینی بی‌قیدوشرط بیت‌های پیام در سطح بیتی می‌تواند باعث تخریب کیفیت بصری تصویر نهانه شود. لذا، در این طرح به‌منظور کاهش تخریب هر بلوک صاف دو سطح کوانتیزاسیون  $a_i$  و  $b_i$  مجدداً محاسبه می‌شوند. بدین ترتیب که پس از جایگزینی بیت‌های پیام در سطح بیتی  $IB_i$ ، سطح بیتی جدید  $IB'_i$  به دست می‌آید.

بنابراین، در این روش بیت‌های سطوح بیتی  $IB'_i$  به دو گروه  $G_0$  و  $G_1$  طبقه‌بندی می‌شود، به این صورت که اگر مقدار بیت در

## ۳-۲- مخفی سازی پیام با عملگر XOR

این روش از یک جدول شاخص با گروه های چهار بیکسلی استفاده می کند و سه بیت پیام را در بیکسل های هر گروه مخفی سازی می کند. عملگر XOR تضمین می کند که پیام محرمانه در پوشانه با کمترین تعداد تغییرات بیکسلی پنهان شود. بنابراین، هر سه بیت پیام مانند  $m_3, m_2, m_1$  در ۴ بیت یعنی  $I_4, I_3, I_2, I_1$  (در اینجا سطر اول IB) مخفی می شوند.

$$IB = \begin{bmatrix} I_1 & I_2 & I_3 & I_4 \\ I_5 & I_6 & I_7 & I_8 \\ I_9 & I_{10} & I_{11} & I_{12} \\ I_{13} & I_{14} & I_{15} & I_{16} \end{bmatrix}$$

در گام اول سه عمل XOR زیر به صورت زیر اجرا می شود:

$$\begin{aligned} k_1 &= I_1 \oplus I_2 \\ k_2 &= I_3 \oplus I_4 \\ k_3 &= I_1 \oplus I_3 \end{aligned} \quad (13)$$

در گام دوم برای مخفی سازی سه بیت پیام  $m_3, m_2, m_1$  سه بیت محاسبه شده  $k_3, k_2, k_1$  با بیت های پیام  $m_3$  و  $m_2, m_1$

مقایسه می شوند. نتایج این مقایسه که می تواند یکی از هشت احتمال باشد که تشخیص می دهد که کدام یک از چهار بیت  $I_4, I_3, I_2, I_1$  باید تغییر کنند، جدول (۱) نشان می دهد که مخفی سازی ۳ بیت پیام در چهار بیکسل پوشانه، حداکثر به احتمال ۰/۲۵ آن ها را تغییر می دهد. این یعنی احتمال تخریب هر بیکسل پوشانه ۰/۲۵ است، این در حالی است که روش جایگزینی مستقیم دارای احتمال تخریب ۰/۵ است. بنابراین انتظار داریم با به کارگیری این فن، کیفیت تصویر نهانه بهبود داشته باشد.

و برای استخراج بیت های پیام از بیکسل های تصویر نهانه، با فرض اینکه  $q_1, q_2, q_3, q_4$  بیت های سطر اول ماتریس سطح بیتی نهانه  $I_5$  باشند داریم:

$$\begin{aligned} m_1 &= q_1 \oplus q_2 \\ m_2 &= q_3 \oplus q_4 \\ m_3 &= q_1 \oplus q_3 \end{aligned} \quad (14)$$

جدول ۱- شرایط مخفی سازی

شرط			عمل
$m_1 = k_1$	$m_2 = k_2$	$m_3 = k_3$	بدون تغییر
$m_1 \neq k_1$	$m_2 = k_2$	$m_3 = k_3$	$\sim I_1$
$m_1 = k_1$	$m_2 \neq k_2$	$m_3 = k_3$	$\sim I_2$
$m_1 = k_1$	$m_2 = k_2$	$m_3 \neq k_3$	$\sim I_3, \sim I_4$
$m_1 \neq k_1$	$m_2 \neq k_2$	$m_3 = k_3$	$\sim I_1, \sim I_2$
$m_1 = k_1$	$m_2 \neq k_2$	$m_3 \neq k_3$	$\sim I_3$
$m_1 \neq k_1$	$m_2 = k_2$	$m_3 \neq k_3$	$\sim I_1$
$m_1 \neq k_1$	$m_2 \neq k_2$	$m_3 \neq k_3$	$\sim I_1, \sim I_2$

$a'_i$  و  $b'_i$  صفر هستند. تنظیم مشتقات جزئی مرتبه اول  $\frac{\partial D_i}{\partial a'_i} = 0$  و  $\frac{\partial D_i}{\partial b'_i} = 0$  و عملکرد دستگاه معادلات به شرح زیر است:

$$\frac{\partial D_i}{\partial a'_i} = -\frac{2}{N} \sum_{x_i \in G_0} (x_i - a'_i) = 0 \quad (9)$$

$$\frac{\partial D_i}{\partial b'_i} = -\frac{2}{N} \sum_{x_i \in G_1} (x_i - b'_i) = 0 \quad (10)$$

حاصل دو معادله فوق عبارت است از:

$$a'_i = \frac{1}{\sum_{x_i \in G_0} 1} \sum_{x_i \in G_0} x_i = \frac{1}{N-q} \sum_{x_i \in G_0} x_i \quad (11)$$

$$b'_i = \frac{1}{\sum_{x_i \in G_1} 1} \sum_{x_i \in G_1} x_i = \frac{1}{q} \sum_{x_i \in G_1} x_i \quad (12)$$

که در آن  $q = \sum_{x_i \in G_1} 1$  نشان دهنده تعداد بیکسل هایی است، که ارزش آن در  $B'_i$  برابر ۱ است و  $(\sum_{x_i \in G_0} 1 + \sum_{x_i \in G_1} 1) = N$  نشان می دهد که تعداد کل بیکسل ها در  $B'_i$  است. دو سطح کوانتیزاسیون محاسبه شده به عنوان سطوح کوانتیزاسیون جدید در بلوک صاف  $B_i$  برای به حداقل رساندن تخریب بلوک اصلی و بلوک بازسازی شده نهانه استفاده می شود.

توجه داشته باشید که دو سطح کوانتیزاسیون  $a'_i$  و  $b'_i$  جدید  $a_i$  و  $b_i$  باید همان ویژگی صاف بودن را تعیین کنند. اگر ویژگی صاف بودن یک بلوک تغییر کند، یعنی شرط  $|a_i - b_i| \leq \text{thr}$  به  $|a'_i - b'_i| > \text{thr}$  تبدیل شود، که ممکن است موجب قضاوت نادرست برای استخراج داده های مخفی توسط گیرنده پیام شود. بنابراین، برای جلوگیری از این امر و تضمین این که تمام بیت های مخفی بتوانند با موفقیت استخراج شوند، در این مورد خاص، هنوز هم از سطوح کوانتیزاسیون قدیمی  $a_i$  و  $b_i$  به جای سطوح جدید  $a'_i$  و  $b'_i$  استفاده می شود.

در طرح بهبود یافته دانهو و ویسان، هنگامی که بیت های پیام در سطوح بیتی بلوک های صاف به طور مستقیم جایگزین می شوند، لذا برای کاهش تخریب در کیفیت تصویر، این دو سطح کوانتیزاسیون مجدداً محاسبه می شوند [۹]. اما با این وجود، از آنجایی که در این روش، بیت های پیام بدون در نظر گرفتن هیچ گونه شرط و تطبیقی به صورت بیت به بیت و مستقیم در سطوح بیتی  $IB_i$  جایگزین می شوند، احتمال تغییر مقدار شدت روشنایی هر بیکسل زیاد است. برای کاهش این احتمال، در طرح پیشنهادی اصلاح شده این مقاله، استفاده از روش مخفی سازی XOR پیشنهاد می شود [۱ و ۲]. این کار باعث می شود عمل بازسازی چنین بلوک های صاف، پس از مخفی سازی پیام از چند گام جلوتر شروع شده و در نتیجه از برآیند میزان تخریب ناشی از مخفی سازی پیام کاسته شود. دستورالعمل و تجزیه و تحلیل کارایی این روش در بخش ۳-۲ می آید.

## ۴- طرح پیشنهادی

پوشانه (ماتریس بیتی  $IB_i$ ) و بیت‌های پیام تأکید دارد. لذا انتظار داریم تأثیر مستقیم بر کیفیت نهانه و در نتیجه به معیارهای کیفی مانند MSE و PSNR و SSIM داشته باشد.

در طرح پیشنهادی این مقاله، مانند طرح دانه‌و و ویسان، برای بلوک ناصاف هیچ عملیاتی مورد نیاز نیست، به دلیل این که در این طرح برعکس AMBTC اصلی، که هر بلوک ناصاف یک بیت مخفی‌سازی می‌کند، هیچ ظرفیتی در نظر گرفته نمی‌شود. در ضمن آستانه‌ی محاسبه شده به روش گفته شده، توان افزایش یا کاهش ظرفیت مخفی‌سازی پیام، مطابق با طول پیام، را دارد. فرض کنید که داده‌های رمزگذاری شده ما یک‌رشته بیت به صورت مجموعه  $M$  زیر باشد.  $M = \{M(i) | M(i) \in \{0,1\}, i = 1, 2, 3, \dots, n\}$  در این صورت، یک سطح سیاه‌وسفید تصویر اصلی  $f$  برای ساخت تصویر نهانه فشرده AMBTC که رشته بیت  $M$  در آن مخفی‌سازی شده، انتخاب می‌شود. بدون از دست دادن کلیت مسئله، ابعاد هر بلوک  $4 \times 4$  در نظر گرفته می‌شود. الگوریتم مخفی‌سازی پیام پیشنهادی، که آن را اصلاح بهبودیافته AMBTC می‌نامیم، به صورت زیر خواهد بود.

## ۴-۱- الگوریتم ۱: الگوریتم مخفی‌سازی پیام

**ورودی:** بیت‌های پیام که به صورت رشته بیت  $M$  و تصاویر خاکستری (پوشانه)  $W \times H$  است.

**خروجی:** کدهای فشرده  $Is$  مطابق تعریف AMBTC.

**گام اول:** فرض  $Is = \emptyset$

**گام دوم:** تصویر خاکستری  $f$  را به بلوک‌های ناهمپوشان  $4 \times 4$  تقسیم کنید.

**گام سوم:** از چپ به راست و از بالا به پایین، هر بلوک  $B_i$  تصویر  $f$  با استفاده از روش AMBTC پردازش کرده و دو سطح کوانتیزاسیون  $a_i$  و  $b_i$  و یک سطح بیتی  $IB_i$  را به دست آورید.

**گام چهارم:** قدر مطلق تفاضل  $d_i = |a_i - b_i|$  را برای هر دو سطح کوانتیزاسیون  $a_i$  و  $b_i$  از بلوک  $B_i$  محاسبه کنید.

**گام پنجم:** حد آستانه  $thr$  را بر اساس روش گفته شده در بخش تعیین آستانه مطابق با طول پیام محاسبه کنید.

**گام ششم:** اگر  $d_i > thr$  باشد، بلوک  $B_i$  به عنوان یک بلوک پیچیده یا ناصاف طبقه‌بندی می‌شود، که در آن یک بیت  $M(i)$  از  $M$  می‌تواند مخفی‌سازی شود، که دو حالت در نظر می‌گیریم.

**حالت اول:** اگر  $M(i)$  برابر با ۱ باشد، سطح بیتی  $IB_i$  جابه جاشده و دو سطح کوانتیزاسیون عوض می‌شوند، به طوری که  $\{b_i, a_i, \bar{B}_i\}$  به جای  $\{a_i, b_i, B_i\}$  قرار داده، سپس  $\{b_i, a_i, \bar{B}_i\}$  به  $Is$  اضافه می‌شود.

در این طرح، که در اینجا اصلاح AMBTC بهبودیافته نامیده می‌شود، ابتدا تصویر سیاه‌وسفید اصلی (پوشانه)  $f$  به بلوک‌های ناهمپوشان  $B_i$  با ابعاد  $k \times k$  پیکسل تقسیم می‌شود (مثلاً  $k = 3$  یا  $4$ ). برای هر بلوک  $B_i$ ، دو سطح کوانتیزاسیون  $a_i$  و  $b_i$  با استفاده از معادلات (۲ و ۳) محاسبه می‌شود. طی فرآیند فشرده‌سازی AMBTC، هر بلوک  $B_i$  می‌تواند با استفاده از دو سطح کوانتیزاسیون  $a_i$  و  $b_i$  و سطح بیتی  $IB_i$  فشرده‌سازی شود. در این طرح نیز هر بلوک  $B_i$  با توجه به یک آستانه از پیش تعیین شده، به عنوان یک بلوک صاف و یا ناصاف طبقه‌بندی می‌شود. اصلاحیه پیشنهادی در این طرح دو مورد است. مورد اول تعیین آستانه تصمیم‌گیری  $thr$  برای شناسایی بلوک‌های صاف یا ناصاف است. مورد دوم استفاده از عملگر XOR حین مخفی‌سازی پیام در بلوک‌های صاف است.

نخست برای محاسبه مقدار آستانه تصمیم‌گیری، قدرمطلق تفاضل دو سطح کوانتیزاسیون  $a_i$  و  $b_i$  در بلوک  $B_i$  به صورت زیر محاسبه می‌شود:

$$d_i = |a_i - b_i| \quad (15)$$

یکی از مسائلی که در این قسمت باقی می‌ماند تعیین یک آستانه تصمیم‌گیری، جهت تشخیص نواحی صاف از ناصاف یا پیچیده است. برای این کار پیشنهاد می‌شود ابتدا  $d_i$  برای همه بلوک‌های  $B_i$  محاسبه شده سپس  $d_i$ ها را به صورت صعودی مرتب می‌کنیم. شکل (۲) را ببینید.

$d_1$	$d_2$	$d_3$	...	$d_{ M }$	...	$d_{l-1}$	$d_l$
-------	-------	-------	-----	-----------	-----	-----------	-------

شکل ۲. محاسبه آستانه تصمیم‌گیری

که در آن  $|M|$  طول پیام  $M$  است. لذا قرار می‌دهیم  $thr = d_{|M|}$  که آستانه تصمیم‌گیری برای انتخاب بلوک صاف یا هموار خواهد بود. بعد از به دست آوردن آستانه تصمیم، بلوک‌هایی که در شرط  $d_i > thr$  صدق کنند را صاف و بقیه را ناصاف می‌نامیم.

پس طبقه بندی بلوک‌های تصویر، داده‌ها در بلوک‌های صاف طبق الگوریتمی که در ادامه می‌آید با استفاده از عملگر XOR در درآیه‌های ماتریس بیتی  $IB_i$ ، که از بیت‌های ۰ یا ۱ تشکیل شده‌اند، مخفی خواهند شد. البته همان طوری که قبلاً اشاره شد، هر سه بیت متوالی  $m_i$  از رشته پیام  $M$  در چهار عنصر بیتی یک سطر از ماتریس بیتی  $IB_i$ ، طبق جدول (۱) مخفی خواهد شد. در ضمن برتری طرح پیشنهادی اصلاح شده نسبت به طرح قبلی که توسط دانه‌و و ویسان ارائه شد به این مفهوم برمی‌گردد، چراکه این عملگر به تطبیق مقدار بیت‌های پیام در

هرکسی می‌تواند تصویر AMBTC را از کدهای فشرده نهانه با استفاده از فرآیند کدگشایی به دست آورد. در طی این فرآیند، دو سطح کوانتیزاسیون برای بلوک صاف برای به حداقل رساندن تخریب کیفیت تصویر، مجدداً محاسبه می‌شود. بنابراین، کیفیت بصری تصویر نهانه توسط طرح پیشنهادی بهبود می‌یابد.

علاوه بر این، با تنظیم آستانه،  $thr$ ، بار مفید و میزان کیفیت بصری تصویر نهانه را کنترل کرد. واضح است که با افزایش آستانه، ظرفیت نهان نگاری افزایش می‌یابد، ولی به دلیل افزایش تخریب کیفیت تصویر نهانه، امنیت طرح نهان نگاری کاهش می‌یابد.

برای توضیح روند ساخت تصویر نهانه‌ی مربوط به طرح نهان نگاری پیشنهادی به مثال زیر توجه کنید. بدون از دست دادن کلیت مسئله فرض کنید آستانه  $thr=15$  محاسبه شده باشد. همان طوری که در شکل (۳) نشان داده شد، یک رشته بیت  $M = \{100, 110, 010, 100\}$  به عنوان داده رمز شده در نظر می‌گیریم که  $thr$  آن ۱۵ است. ابتدا بلوک‌های اصلی  $B_0$  و  $B_1$  با استفاده از روش AMBTC فشرده شده و کدهای فشرده  $\{IB_0, IB_1\}$  به دست می‌آیند. برای بلوک  $B_1$ ، از آنجا که  $|a_1 - b_1| < thr$  است، بلوک  $B_1$  به عنوان یک بلوک صاف طبقه بندی می‌شود. بنابراین، ۹ بیت از  $M$  را می‌توان در سطرهای بلوک  $IB_1$  مخفی سازی کرد. به طوری که هر سه بیت پیام در چهار بیت از هر سطر، طبق جدول مقایسه‌ای شماره ۱، با استفاده از عملگر XOR مخفی سازی شده، ابتدا  $IB'_1$ ، سپس  $a'_1 = 88$  و  $b'_1 = 93$  با استفاده از معادلات (۱۲) و (۱۳) و در نتیجه  $B'_1$  محاسبه می‌شود.

اما از آنجایی که قدر مطلق تفاضل این دو مقدار کمتر از مقدار آستانه  $thr$  است، این بدان معنی است که، ویژگی صاف بودن بلوک  $B_1$  حفظ شده است. بنابراین، دو مقدار محاسبه شده  $a'_1$  و  $b'_1$  را می‌توان به جای  $a_1$  و  $b_1$  به عنوان دو سطح کوانتیزاسیون برای بلوک  $B_1$  مورد استفاده قرار داد. این یعنی  $\{a'_1, b'_1, IB'_1\}$  جایگزین  $\{a_1, b_1, IB_1\}$  می‌شود.

**حالت دوم:** اگر  $M(i)$  برابر با ۰ باشد، هیچ عملیاتی موردنیاز نیست و کدهای فشرده اصلی  $\{a_i, b_i, IB_i\}$  را به  $Is$  اضافه کنید. در نهایت،  $M(i)$  ها را از  $M$  حذف کنید و برای رسیدگی به بلوک پردازش نشده بعدی به مرحله ۳ برگردید.

**گام هفتم:** اگر  $di < thr$  باشد، بلوک  $B_i$  به عنوان یک بلوک صاف طبقه بندی می‌شود، که در آن ۹ بیت  $M(i)$  از  $M$  با استفاده از عملگر  $xor$ ، مطابق جدول (۱)، در سطح بیتهی  $Is$  مخفی سازی می‌شوند. روش مخفی سازی در اینجا برخلاف روش اصلی که با جایگزینی مستقیم بیت‌ها است، در اینجا با استفاده از فن مخفی سازی با عملگر  $xor$  انجام می‌شود، که در آن مکان‌های سطح بیتهی  $IB_i$  با  $M(i)$  جایگزین می‌شوند. پس از جایگزینی ۹ بیت  $M(i)$  در ۴ سطر هر بلوک (۳ بیت پیام در ۴ سطح بیتهی هر سطر)، مجدداً یک سطح بیتهی جدید  $IB'_i$  و مقادیر کوانتیزه جدید  $a'_i$  و  $b'_i$  را طبق فرمول‌های ۱۲ و ۱۳، جهت حداقل کردن تخریب کیفیت تصویر محاسبه می‌کنیم.

**گام هشتم:** اگر  $|a'_i - b'_i| \leq thr$  باشد، این بدان معناست که دو سطح کوانتیزاسیون دوباره محاسبه شده می‌توانند به عنوان ویژگی صاف بودن بلوک  $B_i$  باشند، لذا این مقادیر  $a'_i$  و  $b'_i$  می‌توانند به عنوان دو سطح کوانتیزاسیون جدید برای بلوک  $B_i$  استفاده شوند. سپس  $\{a'_i, b'_i, IB'_i\}$  را به  $Is$  اضافه می‌کنیم.

اگر  $|a'_i - b'_i| > thr$  باشد، دو سطح کوانتیزاسیون قدیمی  $a_i$  و  $b_i$  که ویژگی صاف و همواری بلوک  $B_i$  را نشان می‌دهند، بدون تغییر باقی می‌ماند و کدهای فشرده  $\{a_i, b_i, IB_i\}$  به  $Is$  اضافه می‌شوند. در نهایت، برای رسیدگی به بلوک‌های پردازش نشده به مرحله ۳ برمی‌گردیم.

**گام نهم:** گام‌های ۶ تا ۸ را تا زمانی که همه بلوک‌های تصویر به طور کامل پردازش شوند تکرار می‌کنیم، کدهای نهانه فشرده  $Is$  طبق تعریف AMBTC ساخته می‌شود.

به این ترتیب تصویر خروجی فشرده  $Is$ ، متشکل از  $\frac{N \times N}{4 \times 4}$  تا چهارتایی، که هر کدام شامل دو سطح کوانتیزاسیون با ۱۶ بیت و یک سطح بیتهی  $IB_i$  با ۱۶ بیت هستند، ساخته می‌شوند. تصویر نهانه ساخته شده توسط این طرح در فرمت فشرده است، که می‌تواند کارآمدی انتقال و ذخیره سازی داده‌ها را بهبود بخشد. در ضمن،

$$B_1 = \begin{bmatrix} 105 & 95 & 90 & 86 \\ 81 & 80 & 75 & 82 \\ 85 & 86 & 85 & 86 \\ 86 & 86 & 84 & 84 \end{bmatrix} \xrightarrow{xbar = 86, a_1 = 82, b_1 = 90, |a_1 - b_1| < 15} IB_1 = \begin{bmatrix} 1 & 1 & 1 & 1 \\ \cdot & \cdot & \cdot & \cdot \\ \cdot & \cdot & \cdot & \cdot \\ 1 & 1 & 1 & 1 \end{bmatrix}$$

$$M = \{001, 110, 010\}$$

مخفی سازی بیت‌های پیام با عملگر XOR

$$B'_1 = \begin{bmatrix} 88 & 88 & 93 & 93 \\ 93 & 88 & 93 & 88 \\ 93 & 93 & 93 & 88 \\ 93 & 88 & 93 & 88 \end{bmatrix} \xleftarrow{a'_1 = 88, b'_1 = 93, |a'_1 - b'_1| = 5 < 15} IB'_1 = \begin{bmatrix} 1 & 1 & \cdot & \cdot \\ \cdot & \cdot & \cdot & \cdot \\ \cdot & \cdot & \cdot & \cdot \\ \cdot & \cdot & \cdot & \cdot \end{bmatrix}$$

شکل ۳. مخفی سازی در بلوک صاف با استفاده از عملگر XOR.

$$B_r = \begin{bmatrix} 181 & 201 & 202 & 195 \\ 171 & 198 & 201 & 192 \\ 175 & 195 & 193 & 183 \\ 184 & 201 & 192 & 180 \end{bmatrix} \xrightarrow{xbar = 192, a_r = 179, b_r = 197, |a_r - b_r| > thr} IB_r = \begin{bmatrix} \cdot & 1 & 1 & 1 \\ \cdot & 1 & 1 & 1 \\ \cdot & 1 & 1 & \cdot \\ \cdot & 1 & 1 & \cdot \end{bmatrix}$$

$$M(1) = 1$$

$$B'_r = \begin{bmatrix} 197 & 179 & 179 & 179 \\ 197 & 179 & 179 & 179 \\ 197 & 179 & 179 & 197 \\ 197 & 179 & 179 & 197 \end{bmatrix} \xleftarrow{a_r = 197, b_r = 179} IB'_r = \begin{bmatrix} 1 & \cdot & \cdot & \cdot \\ 1 & \cdot & \cdot & \cdot \\ 1 & \cdot & \cdot & 1 \\ 1 & \cdot & \cdot & 1 \end{bmatrix}$$

شکل ۴. مخفی سازی در بلوک ناصاف با شرط  $M(1) = 1$ .

**گام چهارم:** اگر  $d_i \leq thr$  باشد، ۹ بیت  $M(i)$  را می‌توان از سطح بیتهی  $IB_i$  (سه بیت از هر سطر با استفاده از روابط (۱۴) استخراج کرد. سپس،  $M(i)$  را به  $M^E$  اضافه کرده و برای به‌کار بردن مجموعه سه‌تایی پردازش نشده بعدی به گام دوم برمی‌گردیم.

**گام پنجم:** مراحل ۲ تا ۴ را تکرار کنید تا زمانی که همه مجموعه سه‌تایی به‌طور کامل پردازش شوند، و دنباله بیتهی  $M^E$  که حاوی داده‌های کدگذاری شده است تولید شوند.

پس از استخراج تمام داده‌های رمزگذاری شده  $M^E$  توسط الگوریتم فوق، روند نهایی کدگذاری اطلاعات محرمانه اصلی با استفاده از یک کلید مربوطه انجام می‌شود.

برای مشاهده روند استخراج مثال مربوط به شکل (۳) را به خاطر بیاورید، برای بلوک نهانه ۱، مقدار اختلاف مطلق دو سطح کوانتیزاسیون  $a_1$  و  $b_1$  کوچک‌تر از مقدار آستانه است، از این‌رو، ۹ بیت از  $\{1000, 0101, 0001, 0000\}$  را می‌توان از سطح بیتهی بلوک نهانه ۱، با به‌کارگیری معادلات (۱۴) استخراج کرد. برای بلوک نهانه ۲، مقدار اختلاف مطلق دو سطح کوانتیزاسیون  $a_2$  و  $b_2$ ، یعنی  $|a_2 - b_2| = |197 - 197| = 18 > thr$  است. از این‌رو، یک بیت را می‌توان از بلوک ۲ استخراج کرد. از آنجاکه  $a_p > b_p$  است، سطح بیتهی مخفی به‌عنوان '۱' استخراج می‌شود.

از طرفی، با توجه به شکل (۴)، برای بلوک  $B_2$ ، از آنجایی‌که  $|a_p - b_p| = |197 - 197| = 18 > thr$  است، بلوک  $B_p$  به‌عنوان یک بلوک ناصاف یا پیچیده طبقه‌بندی می‌شود. که مطابق الگوریتم فوق، با توجه به این‌که  $M(1) = 1$ ، جایگزین  $\{b_p, a_p, \overline{IB_p}\}$  می‌شود.

روند استخراج داده‌ها در مقایسه با فرآیند ساخت تصویر نهانه نسبتاً ساده است. جزئیات مربوط به روند استخراج داده‌ها در الگوریتم زیر نشان داده شده است.

#### ۴-۲- الگوریتم ۲: الگوریتم استخراج

**ورودی:** کدهای فشرده AMBTC نهانه Is که متشکل از  $\frac{N \times N}{4 \times 4}$  چهارتایی  $\{a_i, b_i, IB_i\}$ ، آستانه thr و طول پیام است.

**خروجی:** یک‌رشته بیت پیام  $M^E$ .

**گام اول:** فرض کنید  $M^E = \emptyset$ .

**گام دوم:** برای هر مجموعه سه‌تایی  $\{a_i, b_i, IB_i\}$  در  $I_s$ ،  $d_i = |a_i - b_i|$  را محاسبه می‌کنیم.

**گام سوم:** اگر  $d_i > thr$  باشد، یک بیت  $M(i)$  را می‌توان استخراج کرد. اگر  $a_i < b_i$ ،  $M(i)$  می‌تواند به‌عنوان '۱' استخراج شود؛ در غیر این صورت،  $M(i)$  به‌عنوان '۰' استخراج می‌شود. سپس، بیت  $M(i)$  استخراج شده را به  $M^E$  اضافه کنید و برای رسیدگی به مجموعه سه‌تایی پردازش نشده به مرحله ۲ برگردید.



## ۵- معیارهای سنجش و ارزیابی

چندین آزمایش برای ارزیابی عملکرد هر طرح پیشنهادی در نهان نگاری وجود دارد. دسته‌ای از این آزمایش‌ها به سنجش کیفی و ظاهری تصاویر نهانه و تفاوت یا تشابه آن‌ها با پوشانه را مورد ارزیابی قرار می‌دهند.

در سنجش آزمایش‌ها، حداکثر نسبت سیگنال به نویز ( $PSNR^1$ ) برای ارزیابی کیفیت تصویر نهانه به کار می‌رود.  $PSNR$  بیشتر، نشان‌دهنده کیفیت و ظاهر طبیعی‌تر تصویر نهانه  $C$  نسبت به پوشانه  $S$  است. که به صورت زیر تعریف می‌شود:

$$PSNR = 10 \log_{10} \frac{255^2}{MSE} \quad (16)$$

$PSNR$  اختلاف بین تصاویر پوشانه و نهانه را محاسبه می‌کند. هر چه این مقدار بزرگ‌تر باشد یعنی تصویر نهایی به تصویر اصلی نزدیک‌تر بوده و فشرده‌سازی (در اینجا نهان نگاری) کیفیت بهتری ارائه می‌دهد و هر چه به صفر نزدیک‌تر باشد نشان‌دهنده این است که تصویر نهایی اطلاعات بیشتری را از دست داده است و شباهت کمتری با تصویر اصلی دارد.

میانگین مربعات خطا ( $MSE$  ۲) نیز نشان‌دهنده تفاوت بین تصویر پوشانه  $C$  و تصویر نهانه  $S$  است، که به صورت زیر تعریف می‌شود:

$$MSE = \frac{1}{W \times H} \sum_{i=1}^N \sum_{j=1}^N (C_{i,j} - S_{i,j})^2 \quad (17)$$

در این تعریف  $W$  و  $H$  نشان‌دهنده ابعاد تصویر  $I$  است. همان طوری که از فرمول‌های (۱۶) و (۱۷) ملاحظه می‌شود، با افزایش  $MSE$  تفاوت دو تصویر بیشتر شده و در نتیجه از کیفیت تصویر نهانه ( $PSNR$ ) کاسته می‌شود.

علاوه بر برآورد معیارهای کیفی  $PSNR$  و  $MSE$  معیار دیگری نیز وجود دارد، که به اندازه‌گیری شاخص ساختاری و تشابه ( $SSIM$ ) معروف است و برای اندازه‌گیری شباهت بین تصاویر پوشانه و نهانه استفاده می‌شود. مقدار  $SSIM$  در فاصله  $[0, 1]$  است. مقدار ۰ به معنای این است که دو تصویر کاملاً متفاوت و ۱ به معنای دقیق و یکسان بودن دو تصویر است.

معیار دیگری که در ارزیابی طرح‌های نهان نگاری بکار می‌رود، ارزیابی آماری طرح است. به این ترتیب که هیستوگرام پوشانه و نهانه را در کنار هم قرار داده و مقایسه می‌کنند. تشابه بیشتر هیستوگرام‌ها دلیل بر موفقیت در طراحی الگوریتم نهان نگاری است، که احتمال سوءظن رقیب مبنی بر وجود پیام مخفی در نهانه را کاهش می‌دهد.

## ۶- پیاده‌سازی و نتایج تجربی

در این بخش نتایج تجربی الگوریتم پیشنهادی ارائه می‌شوند. با مقایسه نتیجه‌ی پیاده‌سازی طرح پیشنهادی با روش‌های دیگر، کارایی و برتری این طرح نشان داده می‌شود. ابزار آزمایش نرم‌افزار متلب ۲۰۱۹ است و تصاویر مورد استفاده از پایگاه داده BOWS می‌باشد. اندازه تمام تصاویر  $512 \times 512$  است. برای درک بهتر از چگونگی تأثیر تصاویر مختلف بر روی کارایی طرح نهان نگاری پیشنهادی، تعدادی از نتایج در قالب نمودار در این پژوهش نشان داده می‌شود. لذا، در ادامه نتایج حاصل از آزمایش‌ها در قالب جداول و اشکال نشان داده می‌شوند.

همان‌طور که در بخش ۳ گفته شد، شاخص  $thr$  نشان‌دهنده آستانه است که برای تعیین این که آیا بلوک صاف و هموار است یا نه استفاده می‌شود. در واقع شاخص  $thr$  بار مفید و کیفیت تصویر را تحت تأثیر قرار می‌دهد.

در ادامه این بخش به ارزیابی الگوریتم پیشنهادی، که الگوریتم AMBTC اصلاح شده نامیدیم، نسبت به الگوریتم اصلی که کار دانهو و ویسان است، از جنبه‌های مختلف می‌پردازیم.

### ۶-۱- ارزیابی میزان تخریب طرح پیشنهادی

همان طوری که در بخش قبل دیدیم،  $PSNR$ ،  $MSE$  و  $SSIM$  برای اندازه‌گیری کیفیت بصری تصاویر نهانه در آزمایش‌های نهان نگاری استفاده می‌شوند. به طور کلی امنیت در نهان نگاری شامل دو جنبه است، که یکی غیرقابل مشاهده بودن و دیگری غیرقابل کشف بودن است. برای بررسی غیرقابل مشاهده بودن، معیارهایی چون  $PSNR$ ،  $MSE$  و  $SSIM$  که به تفاوت یا تشابه پوشانه و نهانه دلالت دارند، معیارهای خوبی هستند. در جدول (۲) سه معیار فوق برای پوشانه و نهانه به دست آمده با اجرای الگوریتم پیشنهادی در این مقاله و الگوریتم پیشنهادی توسط دانهو و ویسان محاسبه و ثبت شده است. البته این کار روی ۵ تصویر  $512 \times 512$  با آستانه‌ی ۲۰ و طول پیام‌های ۳۰۰۰ و ۵۰۰۰ بیت، پیاده‌سازی گردید. سپس معیارهای ارزیابی  $PSNR$ ،  $MSE$  و  $SSIM$ ، محاسبه شده است. همان طوری که انتظار می‌رفت، با توجه به کاهش تخریب سطوح بیتی در حین جاسازی بیت‌های پیام، در همه موارد و برای ۵ تصویر معروف آورده شده در جدول (۲)،  $MSE$  یا میانگین مربعات خطا کاهش یافته و با توجه به رابطه  $MSE$  و  $PSNR$ ، طبق رابطه (۱۶)، مقدار  $PSNR$  دارای افزایش و  $SSIM$  یا تشابه نهانه و پوشانه در هر مورد افزایش را نشان می‌دهد، که نشان از بهبود طرح اصلاح شده پیشنهادی را دارد.






<sup>1</sup> Peak Signal to Noise Ratio

<sup>2</sup> Main Squar Error

گردیده و در جدول (۳) ثبت شده است. نتیجه این مرحله از آزمایش نیز مشابه نتیجه‌ی جدول (۲)، به کیفیت بصری تصاویر نهانه و تشابه بیشتر نهانه با پوشانه در مقایسه با روش دانهو و ویسان دلالت دارد.

برای اطمینان از نتیجه فوق، میانگین مقادیر همان سه شاخص با آستانه تصمیم‌گیری و طول بیت‌های پیام متفاوت روی ۱۰۰۰ تصویر طبیعی به‌عنوان پوشانه برای روش‌های دانهو و ویسان و روش پیشنهادی شبیه‌سازی

جدول ۲. ارزیابی الگوریتم مخفی‌سازی پیشنهادی با محاسبه PSNR، MSE و SSIM با آستانه ۲۰

شماره تصویر	تصویر	معیار	n= ۳۰۰۰۰ bit		n= ۵۰۰۰۰ bit	
			دانهو و ویسان	پیشنهادی	دانهو و ویسان	پیشنهادی
۱		PSNR	۴۴/۷۱۰	۴۵/۱۷۲	۳۸/۵۹۹۷	۳۸/۹۱۲۳
		MSE	.۸۶۳۸	.۷۴۵۷	۲/۹۹۳۰	۲/۶۲۴۱
		SSIM	.۰/۹۹۵۲	.۰/۹۹۶۹	.۰/۹۸۵۶	.۰/۹۹۰۱
۲		PSNR	۵۱/۸۱۷۳	۵۵/۲۸۵۷	۴۹/۱۶۲۳	۵۱/۴۶۱۸
		MSE	.۰/۲۶۹۴	.۰/۰۷۵۷	.۰/۴۲۲۵	.۰/۱۵۷۹
		SSIM	.۰/۹۹۵۱	.۰/۹۹۷۷	.۰/۹۹۲۴	.۰/۹۹۶۱
۳		PSNR	۳۸/۰۵۱۵	۳۹/۳۱۱۸	۳۴/۰۰۳۹	۳۵/۱۱۱۶
		MSE	۳/۹۹۲۷	۳/۱۲۴۵	۹/۳۴۰۱	۷/۲۶۲۹
		SSIM	.۰/۹۷۸۳	.۰/۹۸۵۰	.۰/۹۵۴۸	.۰/۹۶۹۲
۴		PSNR	۳۵/۶۹۲۴	۳۶/۲۸۲۶	۳۴/۰۴۲۹	۳۵/۱۱۱۹
		MSE	۴/۷۸۱۴	۳/۸۶۸۲	۷/۹۴۵۴	۵/۷۳۰۹
		SSIM	.۰/۹۷۷۲	.۰/۹۸۴۶	.۰/۹۵۵۹	.۰/۹۷۲۸
۵		PSNR	۴۵/۰۹۱۹	۵۹/۸۲۷۲	۴۲/۸۶۷۶	۵۰/۴۰۴۹
		MSE	۱/۵۳۹۲	.۰/۰۲۳۹	۲/۵۰۴۴	.۰/۲۷۳۴
		SSIM	.۰/۹۸۳۳	.۰/۹۹۹۰	.۰/۹۷۱۷	.۰/۹۹۵۹

جدول ۳. میانگین نتیجه پیاده‌سازی طرح‌های دانهو و پیشنهادی روی ۱۰۰۰ تصویر از پایگاه BOWS

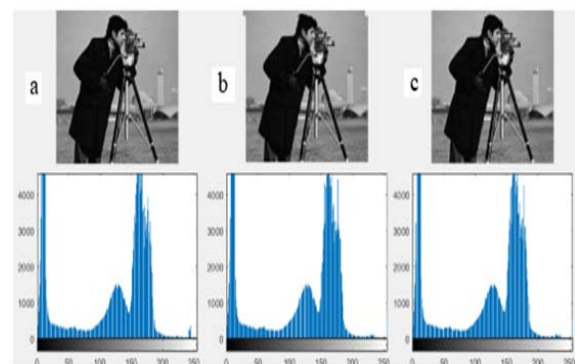
thr	میانگین معیارها	بار ۴۰۰۰۰ بیت		بار ۸۰۰۰۰ بیت	
		دانهو و ویسان	طرح پیشنهادی	دانهو و ویسان	طرح پیشنهادی
۱۰	PSNR	۴۰/۲۳۲۱	۴۱/۰۵۰۵	۳۴/۶۱۸۱	۳۵/۰۲۸۳
	MSE	۷/۲۴۸۳	۶/۷۶۵۴	۱۱/۸۸۹۸	۱۰/۸۶۹۸
	SSIM	.۰/۹۶۳۷	.۰/۹۶۸۹	.۰/۹۳۵۵	.۰/۹۴۶۷
۲۰	PSNR	۴۰/۹۶۳۰	۴۲/۲۳۴۳	۳۴/۸۲۲۹	۳۵/۷۸۶۵
	MSE	۵/۵۳۴۳	۴/۳۲۶۸	۱۲/۶۹۱۵	۹/۷۷۰۵
	SSIM	.۰/۹۶۸۷	.۰/۹۷۷۵	.۰/۹۲۶۹	.۰/۹۴۷۸
۳۰	PSNR	۴۰/۸۴۵۲	۴۲/۵۰۲۷	۳۴/۵۶۳۰	۳۶/۰۱۵۳
	MSE	۴/۵۶۸۲	۳/۴۷۹۹	۱۱/۵۱۶۹	۸/۸۹۶۹
	SSIM	.۰/۹۶۸۹	.۰/۹۷۹۴	.۰/۹۲۳۶	.۰/۹۴۸۵

## ۶-۲- ارزیابی امنیت آماری

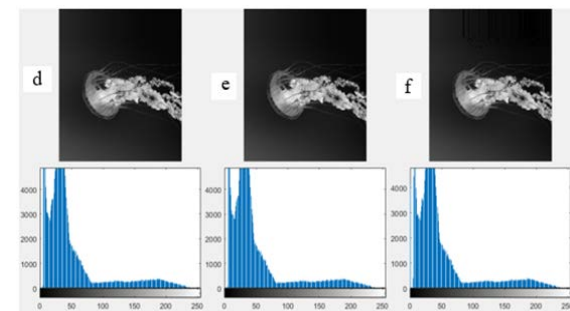
برای ارزیابی امنیت پیام جاسازی شده توسط الگوریتم های نهان نگاری از حملات مختلفی استفاده می شود. یکی از این حملات، حمله بصری (بینایی) است که در آن سعی می شود وجود پیام محرمانه در یک تصویر از طریق دقت در تصویر یا هیستوگرام آن، با چشم غیر مسلح یا رایانه، حدس زده شود. سپس با به کارگیری روش های خلاقانه یا روش های نهان کاوی دیگر وجود پیام در تصویر به اثبات برسد.

در شکل (۵) دو تصویر اصلی پوشانه a و d و حالت فشرده شده آن ها یعنی b و e و همین طور نهانه به دست آمده در تصویر فشرده را به همراه هیستوگرام تک تک آن ها با مخفی سازی ۳۰۰۰ بیت پیام طبق الگوریتم دانهو و ویسان و الگوریتم پیشنهادی نشان می دهد. همان طوری که در این تصاویر و هیستوگرام آن ها دیده می شود، تفاوتی بصری بین این تصاویر پوشانه و نهانه و همین طور در هیستوگرام های آن ها قابل تشخیص نیست.

همان طور که در الگوریتم ارائه شده ملاحظه گردید، در AMBTC اصلاح شده، در هر بلوک صاف، بیت های پیام را در کلیه بیت های سطوح بیتی ( $IB_i$ ) مخفی سازی می شود. در واقع یک بلوک صاف بلوکی است که دو سطح کوانتیزاسیون مربوطه شباهت بیشتری داشته باشند. در نتیجه می توان گفت سطوح صاف تر نسبت به بقیه سطوح صاف، پس از مخفی سازی پیام، کمتر جلب توجه می کند. لذا، چنین سطوح بیتی را می توان با بیت های پیام جایگزین کرد. در هر صورت، راهبرد طراحی شده توسط دانهو و ویسان برای هر بلوک صاف، تخریب کیفیت تصویر را به همراه دارد. لذا، در این طرح با استفاده از عملگر XOR، که سطح تخریب برای هر بیت را از  $\frac{1}{4}$  به  $\frac{1}{8}$  کاهش می دهد، انتظار داریم کیفیت بصری تصویر نهانه بهبود داشته باشد.



شکل ۵. a و d تصاویر اصلی، b و e تصاویر اصلی فشرده، c و e تصاویر نهانه فشرده و هیستوگرام های آن ها با نرخ جاسازی ۳۰۰۰ بیت پیام



ادامه شکل ۵. a و d تصاویر اصلی، b و e تصاویر اصلی فشرده، c و e تصاویر نهانه فشرده و هیستوگرام های آن ها با نرخ جاسازی ۳۰۰۰ بیت پیام

## ۷- نتیجه گیری

نهان نگاری، فنی است که امنیت اطلاعات را از طریق رسانه های دیجیتال مانند تصاویر فراهم می سازد. این مقاله، که بر اساس روش های ریاضی قوی استوار است، با تجزیه و تحلیل الگوریتم نهان نگاری AMBTC بهبود یافته، روش مخفی سازی پیام را بهبود داده است. در این مقاله بجای مخفی سازی مستقیم پیام درون کدهای فشرده AMBTC، که در روش های دیگر صورت می گیرد، از عملگر XOR و شرایط تطبیقی و مقایسه ای استفاده می شود، که می تواند باعث کار آیی بهتر انتقال داده ها و کاهش سوءظن مهاجمان در ارتباطات تصویری شود. چراکه فن بکار گرفته شده برای مخفی سازی پیام، احتمال تخریب تصویر را از  $0/5$  به  $0/25$  کاهش می دهد. در این طرح تمام بلوک های صاف و ناصاف، برای مخفی سازی پیام استفاده می شوند. هر بلوک صاف نه بیت و هر بلوک ناصاف یک بیت را در خود مخفی می کند. طرح اصلاح شده پیشنهادی مزایای طرح AMBTC بهبود یافته مانند پیچیدگی محاسباتی پایین و سهولت در اجرا را به ارث می برد و با ظرفیت مخفی سازی یکسان، کیفیت بصری خوبی را به دست می آورد. نتایج تجربی روی طرح پیشنهادی، با برآورد معیارهای ارزیابی چون PSNR، MSE و SSIM برای تصاویر نهانه با حجم بار مفید یکسان، نسبت به برخی از طرح هایی که قبلاً گزارش شده است، از کیفیت بصری بهتری برخوردار است. از طرفی آزمون هیستوگرام هم نشان داده است که، این طرح مخفی سازی پیام، امنیت آماری را هم حفظ می کند.

## ۸- مراجع ها

- [1] Bohem, R. "Advanced Statistical Steganalysis"; Springer-Verlag Berlin Heidelberg, 2010.
- [2] Shamalizadeh Baei, M. A. "Designing a Combinatorial Image Steganography Algorithm Based on Game Theory"; Adv. Defence Sci. & Technol. 2020, 2, 133-145, (In Persian).

- [8] Chen, J.; Hong W.; Chen, T. S.; Shiu, C. W. "Steganography for BTC Compressed Images Using no Distortion Technique"; *Imaging Sci. J.* 2010, 58, 177–185.
- [9] Sun, W.; Lu ZM.; Wen Y. C.; Yu F. X.; Shen RJ. "High Performance Reversible Data Hiding for Block Truncation Coding Compressed Images"; *Signal, Image Video Process* 2013, 7, 297–306.
- [10] Chin-Chen, C.; Tung-Shou, C.; Yu-Kai, W.; Yan-Jun, L. "A Reversible Data Hiding Scheme Based on AMBTC compression using xor Operator"; *Multimed. Tools Appl.* 2017, 2019, 3, 113–124..
- [11] Jung-Yao, Y.; Chih-Cheng, C.; Po-Liang, L.; Ying-Hsuan, H. "High-Payload Data-Hiding Method for AMBTC Decompressed Images"; *MDPI*, 2020, 1, 212–219.
- [12] Ou, D.; Sun, W. "High Payload Image Steganography with Minimum Distortion Based on Absolute Moment Block Truncation Coding"; *Multimed Tools Appl.* 2014, 74, 9117–9139
- [3] Guo, J. M.; Lin, C. Y. "Parallel and Element-reduced Error-Diffused Block Truncation Coding"; *IEEE Trans. Commun.* 2010, 58, 1667–1673.
- [4] Lema, M.; Mitchell, O. "Absolute Moment Block Truncation Coding and Its Application to Color Images"; *IEEE Trans. Commun.* 1984, 32, 1148–1157.
- [5] Hong, W.; Chen, T. S.; Shiu, C. W. "Lossless Steganography for AMBTC-Compressed Images"; *Int. Cong. Image Signal Processing* 2008, 2, 13–17.
- [6] Chang, C. C.; Lin, C. Y.; Fan, Y. H. "Lossless Data Hiding for Color Images Based on Block Truncation Coding"; *Pattern Recog.* 2008, 41, 2347–2357.
- [7] Liao, X.; Yu, Y.; Li, B.; Li, Z.; Qin, Z. "A New Payload Partition Strategy in Color Image Steganography"; *IEEE Trans. Circuits Syst. Video Technol.*, in press, 2019.